基于C5G7-MOX的中子输运计算方法 比较及MOC参数敏感性初步分析

龚瀚源¹ 张彬航^{2,3} 张永红² 唐海波² 袁显宝² 1(三峡大学 机械与动力学院 宜昌 443002) 2(三峡大学 理学院 宜昌 443002) 3(先进核能技术设计与安全教育部重点实验室 衡阳 421200)

摘要 特征线方法(Method of Characteristics, MOC)因其具备强大的几何处理能力,且在计算过程中亦能兼顾计算成本和计算精度,被广泛应用于高保真数值模拟计算中。常见的中子输运计算方法除MOC外,还包括碰撞概率法(Collision Probability method, CP)和界面流法(Interface Current method, IC)等。本文从方法理论以及数值计算两方面将MOC、CP和IC进行比较分析,评估其在pin-by-pin计算中的能力。同时在MOC计算中,不同的参数选择会对计算成本和计算精度产生影响,因此有必要进行敏感性分析以寻求最佳参数。本文首先将三种计算方法从原理上进行比较分析,再基于2D C5G7-MOX基准题完成了数值计算及MOC参数敏感性初步分析。计算结果表明:MOC在计算精度、计算效率和内存开销上均优于CP和IC。MOC的计算耗时和内存开销分别为23.9 min和37.5 MB,与参考解的相对误差仅为6.04×10⁻⁴。而 CP和IC的计算耗时分别为MOC的56.7倍和15.6倍,内存开销分别为MOC的407.7倍和32.8倍。进一步通过参数敏感性分析发现:网格划分对计算内存开销以及计算时间的影响最大,而极角的选择对计算精度的影响最大,并且给出一组综合优化建议参数:网格划分6×6,极角为GAUS且数目为2,方位角个数为30。该组参数的计算耗时为45.4 min,内存开销为264.7 MB,相对误差为5.9×10⁻³,归一化后的栅元均方根误差为0.002 55。

关键词 特征线方法, 2D C5G7-MOX, 方法比较, 敏感性分析, DRAGON

中图分类号 TL99

DOI: 10.11889/j.0253-3219.2024.hjs.47.100601 **CSTR:** 32193.14.hjs.CN31-1342/TL.2024.47.100601

Comparison of neutron transport calculation methods based on C5G7-MOX and preliminary analysis of sensitivity of MOC parameters

GONG Hanyuan¹ ZHANG Binhang^{2,3} ZHANG Yonghong² TANG Haibo² YUAN Xianbao²

1(College of Mechanical and Power Engineering, China Three Gorges University, Yichang 443002, China)

2(College of Science, China Three Gorges University, Yichang 443002, China)

3(Key Laboratory of Advanced Nuclear Energy Design and Safety, Ministry of Education, Hengyang 421200, China)

Abstract [Background] The Method of Characteristics (MOC) is widely applied to high-fidelity numerical simulations due to its robust geometric processing capabilities, as well as its ability to balance computational costs

国家自然科学基金(No.12275153, No.12175116, No.12305187)、先进核能技术设计与安全教育部重点实验室基金(No.KLANEDS202307)资助第一作者:龚瀚源,男,2000年出生,2021年毕业于三峡大学,现为硕士研究生,研究领域为反应堆物理

通信作者: 张彬航, E-mail: evanustc@mail.ustc.edu.cn

收稿日期: 2023-09-19, 修回日期: 2024-02-20

Supported by National Natural Science Foundation of China (No. 12275153, No. 12175116, No. 12305187), Foundation of Key Laboratory of Advanced Nuclear Energy Design and Safety, Ministry of Education (No.KLANEDS202307)

First author: GONG Hanyuan, male, born in 2000, graduated from China Three Gorges University in 2021, master student, focusing on reactor

 $Corresponding\ author:\ ZHANG\ Binhang,\ E-mail:\ evanustc@mail.ustc.edu.cn$

Received date: 2023-09-19, revised date: 2024-02-20

and accuracy during calculations. In addition to MOC, common neutron transport calculation methods also include the Collision Probability method (CP) and the Interface Current method (IC). In MOC calculation, different parameter selections will lead to different values of calculation cost and accuracy. [Purpose] This paper aims to evaluate the ability of MOC, CP and IC methods for pin-by-pin calculation, and conduct sensitivity analysis to find the best parameter setting for MOC method. [Methods] The three aforementioned calculation methods were compared from the perspective of theory and numerical calculation. Subsequently, numerical calculation and preliminary analysis of the sensitivity of MOC parameters were conducted based on the 2D C5G7-MOX reference problem. [Results] Numerical calculation results show that the computation time and memory cost incur by the MOC are 23.9 min and 37.5 MB, respectively, and the relative error between the MOC results and reference solutions is only 6.04×10^{-4} . The computing times of the CP and IC methods are 56.7 times and 15.6 times that of the MOC, and the memory costs are 407.7 times and 32.8 times that of the MOC, respectively. As a result of the sensitivity analysis of MOC parameters, the following set of parameters is suggested: a grid division of 6×6, a pole angle of GAUS, a pole number of 2, and an azimuth angle of 30°. The calculation time and the memory cost of this set of parameters are 45.4 min and 264.7 MB, respectively, with the relative error of 5.9×10⁻⁵ and the normalized RMS error of 0.002 55. [Conclusions] The results of this study indicate that the MOC is superior to the CP and IC methods in accuracy, efficiency, and memory cost, and the grid division of MOC has the greatest influence on the calculation memory cost and calculation time whereas the choice of polar angle has the greatest influence on the calculation accuracy. With its powerful geometric processing ability and consideration of the calculation cost and accuracy, the MOC is more widely used in high-fidelity numerical simulation for neutron transport calculation.

Key words Method of characteristics, 2D C5G7-MOX, Comparison of methods, Sensitivity analysis, DRAGON

随着新型反应堆的发展,更多非均匀性强、能谱异构更加复杂的堆型出现,为堆芯物理计算与分析带来了挑战。在高保真反应堆物理计算中,常用的中子输运方程求解方法包括:特征线方法(Method of Characteristics,MOC)、碰撞概率法(Collision Probability method,CP)和界面流法(Interface Current method,IC)等。CP和IC方法都属于积分输运方法,该方法最早由Amouyal、Benoist和Horowitz应用于计算栅元的热中子利用系数[1-2],并且得到了很高的计算精度。因此积分输运方法曾在相当一段时间内被作为反应堆物理计算中的一种重要方法,特别是在轻水堆的栅元能谱计算以及燃料组件能谱计算中被广泛应用[3]。当下积分输运方法作为中子输运求解模块已在多个程序中得以实现,其中包括APOLLO2[4]、WIMSD-5B[5]、MOSRA[6]等。

特征线方法最早由英国学者Askew^[7]应用于求解复杂的输运计算,随着近些年来计算机性能的不断攀升,特征线方法凭借其精确的数值计算和灵活的几何特性,在高保真反应堆物理分析中得到了广泛的应用^[8]。目前国内外许多程序都采用特征线方法作为输运求解器,包括DRAGON^[9-10]、CASMO^[11-12]、WIMS^[13]等。MOC是沿中子轨迹以特征线形式求解中子输运方程的一种方法^[14],该方法巧妙地运用了数学技巧,将中子输运方程用微分形式表示,沿着中子运行的轨迹进行积分求解^[15]。特征线方法具备强大的几何处理能力,能将角度变量

和空间变量同时进行处理,理论上能处理任意几何,并且由于特征线中线与线之间的独立性,使得特征线方法具备天然的并行能力,在计算过程中亦能兼顾计算效率和计算精度。MOC、CP、IC三种方法各具特点,但在进行高保真计算时,都会面临计算成本的挑战,因此有必要对以上三种输运计算方法进行分析比较,评估其在pin-by-pin计算中的能力。

本文首先比较了MOC、CP和IC的计算原理,并基于2D C5G7-MOX基准题分析了三种方法的计算精度、计算效率和内存开销。同时由于特征线方法本身在计算的过程中,不同参数的组合会导致计算精度、计算效率和内存开销发生变化,需要进一步开展 MOC 参数敏感性分析。其中 Mira 等[16]基于极角、方位角以及网格划分开展了参数敏感性分析,但仅研究了上述三个参数对计算精度的影响。本文完善了参数敏感性分析中的参数类型,对部分参数的选取范围进行了深入探究,分析比较了各种参数的计算耗时、计算精度和内存开销,能够较为全面地为特征线方法在计算 2D C5G7-MOX 这类强非均匀性组件问题的参数选择与优化提供一定参考。

1 计算方法

1.1 特征线方法

MOC的核心思想是沿着特征线方向进行积分, 将中子输运方程转化成特征线方程,再通过对每一 条平行特征线进行输运求解,从而完成对整个目标 区域的计算。从理论上讲,特征线方法具有优异的 几何适应能力,只要特征线足够密,便可对任意形状 的几何区域进行输运求解。

使用特征线方法进行中子输运方程求解时,需将待求解问题的几何区域划分成众多平源区,并假设在所划分的平源区中,宏观截面和中子源项均为常数。如图1所示,对于任意平源区i,其中带箭头的平行实线分别为穿过该区域的特征线,两虚线之间的距离为第k条特征线的宽度记作 $\delta A_{m.n.k}$,特征线沿着方位角为m、极角为n,其中截面和源项近似分别如式(1)和式(2)所示。

$$\Sigma_{\iota\iota}(s) \approx \Sigma_{\iota\iota}$$
 (1)

$$Q_{im}(s) \approx Q_{im} \tag{2}$$

式中: $\Sigma_{l,i}$ 为平源区内不随位置发生变化的宏观截面; $Q_{l,m}$ 为平源区内不随位置而发生变化的源项,于是稳态多群中子输运方程可以表示为[12]:

$$\sin\theta_n \frac{\mathrm{d}}{\mathrm{d}s} \phi_{i,m,n,k} (s_{i,m,n,k}) + \Sigma_{t,i} \phi_{i,m,n,k} (s_{i,m,n,k}) = Q_{i,m} \quad (3)$$

式中: θ_n 为中子沿着 $\Omega_{m,\theta}$ 方向飞行的极角; $s_{i,m,n,k}$ 为特征线在x-y平面投影所得的长度; $\phi_{i,m,n,k}(s)$ 为中子角通量。式(3)为一阶线性微分方程,可以解析求解得到下式:

$$\phi_{i,m,n,k}^{\text{out}} = \phi_{i,m,n,k}^{\text{in}} \exp\left(-\Sigma_{t,i} S_{i,m,n,k}\right) + \frac{Q_{i,m}}{\Sigma_{t,i}} \left[1 - \exp\left(-\Sigma_{t,i} S_{i,m,n,k}\right)\right]$$
(4)

式中: $\phi_{i,m,n,k}^{\text{out}}$ 为出口处的中子角通量密度; $\phi_{i,m,n,k}^{\text{in}}$ 为入口处的中子角通量密度。对式(2)沿着特征线段进行积分,由中子守恒关系可得:

$$\bar{\phi}_{i,m,n,k} \cdot s_{i,m,n,k} = \int_{0}^{s_{i,m,n,k}} \phi_{i,m,n,k}^{\text{in}} \exp\left(-\Sigma_{t,i} s_{i,m,n,k}\right) + \frac{Q_{i,m}}{\Sigma_{t,i}} \left[1 - \exp\left(-\Sigma_{t,i} s_{i,m,n,k}\right)\right] ds$$
(5)

式中: $\bar{\phi}_{i,m,n,k}$ 为沿特征线k的平均角通量密度。将式(5)化简得:

$$\overline{\phi}_{i,m,n,k} = \frac{Q_{i,m}}{\sum_{t,i}} + \frac{\phi_{i,m,n,k}^{\text{in}} - \phi_{i,m,n,k}^{\text{out}}}{\sum_{t,i} S_{i,m,n,k}}$$
(6)

对在区域i内的以方位角m、极角n的所有特征线段,以体积为权重进行求和,得到其区域i内的平均角通量密度:

$$\bar{\phi}_{i,m,n} = \frac{\sum_{k} \bar{\phi}_{i,m,n,k} s_{i,m,n,k} \delta A_{m,n,k}}{V_{i}}$$
 (7)

式中: $\bar{\phi}_{i,m,n}$ 是以m方位角、n极角穿过i区域的所有特征线段的平均角通量密度; V_i 表示区域的体积大小,对其方位角和极角进行加权平均,可得i区域内的中子通量。

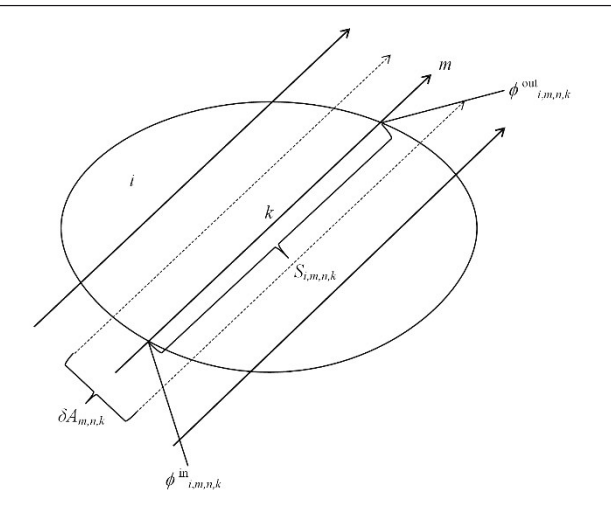


图1 特征线方法示意图 Fig.1 Diagram of method of characteristics (MOC)

$$\phi_i = \sum_{m=1}^{M} \omega_m \sum_{n=1}^{N} \omega_n \bar{\phi}_{i,m,n}$$
 (8)

式中: ω_m 表示方位角求积系数;M为方位角的离散数目; ω_n 为极角求积系数;N为极角的离散数目。将式(7)和式(6)代入式(8)中可得,i区域内的标量中子通量密度如下:

$$\phi_{i} = \frac{4\pi Q_{i}}{\sum_{t,i}} + \frac{\sum_{m=1}^{M} \omega_{m} \sum_{n=1}^{N} \omega_{n} \left[\sum_{k} (\phi_{i,m,n,k}^{\text{in}} - \phi_{i,m,n,k}^{\text{out}}) \right] \delta A_{m,n,k}}{\sum_{k} V_{i}}$$

根据式(9)可知,在计算各平源区的中子通量密度时,极角n、方位角m、特征线密度(特征线宽度 $\delta A_{m,n,k}$)以及各平源区域划分的精细程度都会直接影响中子通量的计算精度。因此,本文基于上述参数开展敏感性分析,比较不同参数组合对计算精度、计算时间和内存开销的影响程度,为后续特征线参数的选择和优化提供参考。

1.2 碰撞概率法

CP是求解积分中子输运方程的最基本方法,运用碰撞概率法进行求解时,将系统划分成N个互不相交的均匀子区, V_i =1,2,…,N,其中当 $i\neq j$ 时, V_i ∩ V_j =0。由于 V_i 划分的足够小,可以近似地认为在每一子区域内的截面参数等于常数。 P_{ij} 为j区内产生的一个各向同性中子,不经任何碰撞到达i区发生首次碰撞的概率^[17],由于 P_{ij} 的求解与j区的源中子或中子通量密度的分布有关,而中子通量密度正是所要求的未知量。因此需要引入平源近似,即当子区域划分得较小时,近似地认为每个区域的源中子或中子通量密度的分布等于常数,同时为了简化计算,亦要假设入射中子在子区表面上的空间分布是均匀的,且入射中子的角分布各向同性^[18]。故在多

群近似的条件下,便可对 $P_{i,g}$ 以及通量进行求解如下:

$$P_{ij,g} = \frac{\sum_{t,i,g}}{V_{j}} \int_{V_{i}} dV \int_{V_{j}} \frac{\exp\left[-\tau_{g}(r'-r)\right]}{4\pi |r'-r|^{2}} dV$$
(10)
$$\sum_{t,i,g} \phi_{i,g} V_{i} = \sum_{j=1}^{I} \left[\sum_{g'=1}^{G} \sum_{j,g'-g} \phi_{j,g'} + S_{j,g}\right] P_{ij,g} V_{j},$$

$$g = 1,2,\dots,G$$
(11)

式中: $P_{i,s}$ 为g群内在i区内产生的各向同性的中子,不经任何碰撞到达i区发生首次碰撞的概率。 $\Sigma_{i,i,g}$ 为g群中子截面近似得到的宏观截面,r'-r为空间上位置的变化, $\tau_g(r'-r)$ 为从r'到r点之间的自由程, V_i 为区域i的体积。式(11)称为碰撞概率形式的中子积分输运方程,其中等号右端方括号内项表示在 V_i 内单位体积内g群的源中子数,因此,等号右端整体便表示所有i区的g群中子在 v_i 区域内首次发生碰撞的数目,等于等号左端 v_i 内的碰撞数 v_i ,内的碰撞数 v_i ,是在整个碰撞概率法求解的过程中,中子飞行首次碰撞概率矩阵 v_i

1.3 界面流法

IC 的基本思想是:将系统分为若干子区,对每个子区进行均匀化处理后,再对每个子区建立中子输运方程,各子区之间通过界面上的中子流连续的条件进行耦合,以此来求解中子通量。

将系统划分为*N*_i*N_j个子区,假定中子源的角分布为各向同性,空间分布采用线性分布,即所谓的线性源近似,于是中子源项可表示为^[17]:

$$Q(x,y,\Omega) = \frac{1}{4\pi} \bar{Q} \left[1 + a_x \left(\frac{x}{a} - \frac{1}{2} \right) + a_y \left(\frac{y}{b} - \frac{1}{2} \right) \right], \ 0 \le x \le a, 0 \le y \le b$$
 (12)

式中: $Q(x,y,\Omega)$ 为子区内点(x,y)处沿 Ω 方向的中子源密度; \bar{Q} 为子区的平源强;a、b为子区在x、y方向的边长; a_x 、 a_y 为源项在x、y方向上的线性分布系数。

如图 2 的矩形几何为例,对于子区(i,j)设体积为 V_{ii} ,根据中子平衡可得在界面流方程为:

$$\sum_{k=A,B,C,D} \frac{1}{V_{ij}} \left(\sum_{q=1}^{2} J_{k,q}^{+} - \sum_{q=3}^{4} J_{k,q}^{-} \right) + \Sigma_{t,ij} \bar{\phi}_{ij} = Q_{ij}(13)$$

式中: $\bar{\phi}_{i,j}$ 为子区(i,j)的平均通量; $\Sigma_{i,j}$ 为子区(i,j)的总截面; Q_{ij} 为子区(i,j)内的平均源强(包括散射源、裂变源、外中子源)。k为矩形几何子区的4个界面(A,B,C,D)如图2所示,q为各界面上中子飞行方向划分为4个象限,每个边界的4个象限在图2中均已标出, $J_{k,q}^{+}$ 为子区界面k象限q的出射中子流, $J_{k,q}^{-}$

为子区界面k象限q的入射中子流。

界面流法在求解通量时,考虑的是每个子区域内源与相邻子区域的边界的中子守恒关系[18],每个子区只需计算首次穿透和泄漏两个概率,且计算的概率数目只与系统内所出现的子区类型成正比。而碰撞概率法中首次碰撞的计算量,却是与系统内子区数目的平方成正比。因此界面流法相较于碰撞概率法,具有较高的计算效率。

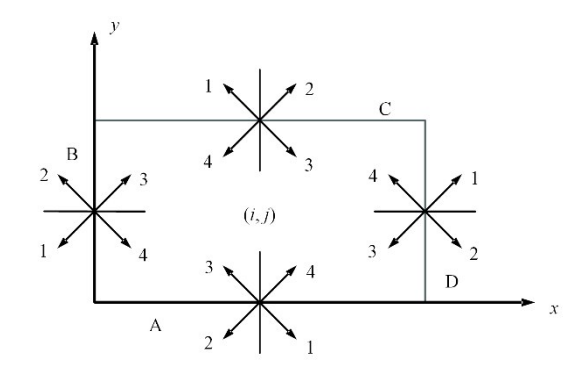


图 2 象限的划分与界面标号 Fig.2 Quadrant division and interface labeling

2 计算模型

2.1 2D C5G7 MOX基准题

C5G7基准题是由OECD/NEA于2003年发布的基准题,主要用于评价现有输运计算方法进行全堆芯非均匀计算的能力[19]。该基准题包含了UO₂和MOX两种燃料组件,每个组件的边长为21.42 cm,由17×17的燃料栅元组成。外围慢化剂区域的宽度与组件边长相同。2D C5G7-MOX基准题的结构如图3所示,右侧和下方为真空边界,左侧和上方为全反射边界[16]。各类组件中的各个栅元都具有相同的几何参数。栅元几何结构如图4所示,其中包括燃料和包壳打混的圆形区域以及外部慢化剂的矩形区域,栅元边长为1.26 cm,燃料区域的半径为0.54 cm。

C5G7-MOX 基准题共由 7 种材料构成: UO₂燃料、4.3%、7.0% 和 8.7% 的 MOX 燃料、裂变室、导向管和水。其中水不仅用于填充外部慢化剂区域,还用于填充每个栅元内部棒外的区域,UO₂和 MOX 组件内的燃料棒布置如图 5 所示。

2.2 DRAGON5.0.8

DRAGON 是由加拿大蒙特利尔理工大学核工程研究所开发的,基于确定论方法的反应堆栅格计算程序^[4]。该程序采用特征线方法、界面流法、碰撞概率法等多种数值方法求解中子输运方程^[20],已被

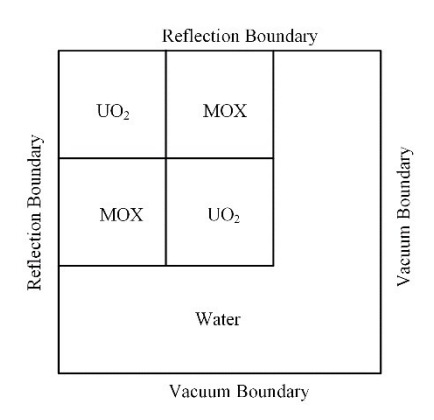


图3 C5G7-MOX组件布置示意图 **Fig.3** Diagram of C5G7-MOX assembly layout

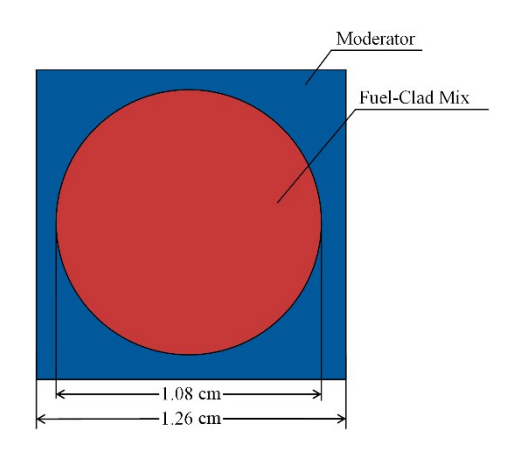


图 4 C5G7-MOX 栅元结构示意图 Fig.4 Structural diagram C5G7-MOX cell

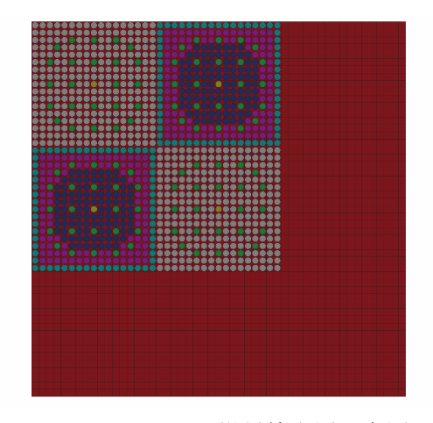


图 5 C5G7-MOX 燃料棒布置示意图 Fig.5 Diagram of C5G7-MOX fuel rod layou

广泛用于反应堆物理计算研究中。DRAGON具有较强的几何处理能力,能处理常见的二维和三维几何模型。基于DRAGON计算2D C5G7-MOX基准题的方法如图6所示。首先通过MAC模块读入该基准题中各材料的7群截面参数,几何上采用51×51的栅元阵列排布,其中顶部和左侧的边界条件为镜面边界,右侧和底部的边界条件为真空边界(GEO模块),然后对待求解的几何区域进行特征线布置与追踪,获得各平源区内特征线的相关几何信息(NXT

模块和MCCGT模块),最后逐一对每条特征线进行输运求解,获得各平源区内的中子通量密度及反应率,完成二维输运计算(ASM模块、FLU模块和EDI模块)。

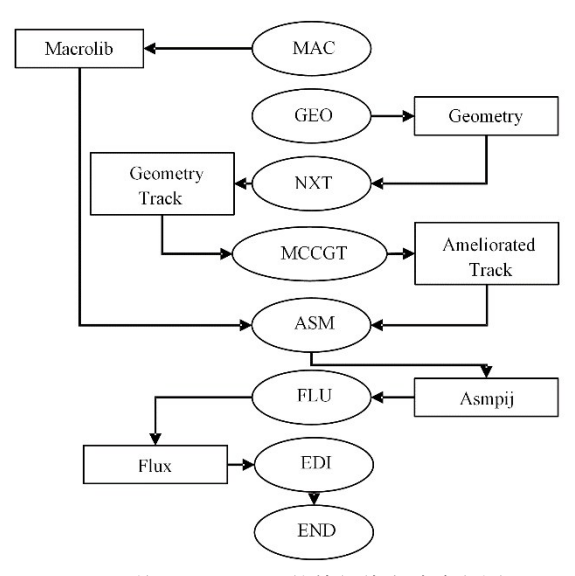


图6 基于DRAGON的特征线方法流程图 Fig.6 Flowchart of MOC based on DRAGON

3 计算结果及分析

本文采用蒙特卡罗程序OpenMC的计算结果作为参考解。OpenMC是2011年由美国麻省理工学院开发的蒙特卡罗中子和光子输运模拟程序,专注于反应堆建模和反应堆物理方法研究,旨在实现高保真、高性能、大规模仿真计算[21-22],具备临界计算、固定源计算等多种功能[23]。

测试环境为PC单机,具备 5.0 GHz 十四核心 Intel 酷睿 i9 处理器,16 GB 内存。通过 OpenMC 共计算模拟 800代,去掉前 200代,统计后 600代,每代跟踪 600 000个中子,以得到各燃料栅元的归一化功率及有效中子增殖因子($k_{\rm eff}$ =1.186 52±0.000 04)。相对误差计算公式如下:

$$RE = \frac{\left|k_{\text{eff}}^{D} - k_{\text{eff}}^{O}\right|}{k_{\text{eff}}^{d}}$$
 (14)

式中: $k_{\text{eff}}^{\text{D}}$ 为本文计算的有效中子增殖因子,而 $k_{\text{eff}}^{\text{O}}$ 为 OpenMC 计算的有效中子增殖因子。通过比较组件中每个栅元的功率计算误差,从而进一步对功率的空间分布进行评估,均方根误差计算公式如下:

RMSE =
$$\sqrt{\frac{\sum_{i=1}^{N} (p_{D,i} - p_{O,i})^2}{N}}$$
 (15)

式中:N为栅元的总数目; $p_{D,i}$ 为本文计算所得第i个栅元的归一化功率; $p_{O,i}$ 为参考解中第i个栅元的归一化功率。

3.1 不同中子输运方法计算比较

首先将 MOC与 CP、IC,通过对 2D C5G7-MOX 基准题计算的计算精度、计算效率和内存开销进行比较。再从三种方法的计算原理进行解释,能够更全面地对特征线方法、碰撞概率法、界面流法的计算能力进行评估。

表1展示了分别采用特征线方法、碰撞概率法和界面流法在计算2D C5G7-MOX 基准题的耗时、内存开销以及相对误差。计算时间方面:特征线方法耗时最短,界面流法次之,碰撞概率法最长。其中界面流法耗时是特征线方法的15.6倍,碰撞概率法耗时是特征线方法的56.7倍;内存开销方面:特征线方法的内存开销远小于碰撞概率法和界面流法,其中碰撞概率法内存开销最大。界面流法的内存开销是特征线方法的32.8倍,碰撞概率法的内存开销是特征线方法的407.7倍;计算精度方面:特征线方法的计算结果最为精确,与参考解的相对误差只有6.04×10⁻⁴,碰撞概率法算得的结果与参考解相对误差高达差6.14×10⁻⁴,而界面流法与参考解相对误差高达

 $3.899.6 \times 10^{-2}$

采用碰撞概率法计算虽然也足够精确但是会消 耗大量时间以及内存,原因在于碰撞概率法将系统 分成若干区域,每个区域的中子通量密度彼此相互 耦合,得到中子通量需要求解所有区域的首次碰撞 概率[24]。这些都会使计算规模变大,从而导致耗时 增多内存开销增大。界面流法在计算过程中,由于 中子流过各子区域之间的界面必须在连续条件下耦 合,且每个子区域只与相邻子区域耦合,因此在平源 近似假设下计算强非均匀性问题的误差较大[25-26], 会使其误差远大于特征线方法和碰撞概率法。特征 线方法在计算过程中,只需要足够密的特征线将所 有计算区域进行覆盖,沿着特征线进行积分,从而完 成对整个区域的计算。因此可以通过调整特征线的 疏密程度,在保证精度的同时也能减小计算成本。 综合以上分析,特征线方法在计算2DC5G7-MOX 基准题这类强非均匀性的问题时,计算精度、计算效 率和内存开销总体上是优于碰撞概率法和界面 流法。

表 1 2D C5G7-MOX燃料组件计算结果 Table 1 2D C5G7-MOX fuel assembly calculation results

计算方法 Computing method	耗时 Elapsed time / min	内存开销 Memory overhead / MB	相对误差 Relative error / 10 ⁻⁵
MOC	23.9	37.5	60.4
CP	1 355.6	15 291.1	61.4
IC	374.1	1 233.4	3 899.6

3.2 MOC参数敏感性分析

进一步对影响特征线方法计算结果的关键参数 进行敏感性分析。由式(9)可知极角、方位角、特征 线密度的选择都会对中子通量的计算结果产生影响,且每个栅元划分的网格数目也会对计算精度、计 算效率和内存开销产生影响。

通过改变网格数目、方位角、极角、特征线密度进行计算,共得到44组数据,初步分析得出,以上参数对计算效率及精度的影响从大到小为:网格数目、极角、方位角、特征线密度。本文按照对计算产生的影响大小顺序,分别对网格数目、极角、方位角、特征线密度进行计算分析,参数类型及区间见表2。

3.2.1 网格划分与极角

图7展示了选择不同的网格划分以及不同极角进行计算所得的内存开销,其中横坐标表示单个栅元网格数目,纵坐标表示整个计算过程的内存开销(单位kB),其中不同的曲线分别代表6种极角。从图7可知,随着单个栅元的网格划分数目的增多,内存开销也随之显著增大。而相比之网格划分对内存

表 2 参数类型与选择区间 Table 2 Parameter type and selection interval

参数类型	选择区间	
Parameter type	Selection interval	
极角类型 Polar angle type	GAUS、LCMD、CACB	
极角数目 Number of polar angles	2,3	
方位角 Azimuth angles	8,12,16,30,32,64	
线密度Linear density / cm ⁻¹	8,10,12,15,20	
网格划分Mesh generation	2×2,4×4,6×6,8×8	

开销的影响,不同极角的选择对内存开销的影响几乎可以忽略不计。在网格划分为2×2的情况下,6种极角分别计算的内存开销为3.8×10⁴ kB;在网格划分为4×4的情况下,6种极角分别计算的内存开销为1.27×10⁵ kB;在网格划分为6×6的情况下,6种极角分别计算的内存开销为2.71×10⁵ kB;在网格划分为8×8的情况下,6种极角分别计算的内存开销为4.36×10⁵ kB。根据不同网格划分和极角下的内存开销可得,相同网格数目下的不同极角划分对内存的开销影响仅在400 kB以内,而不同网格划分对内存的开销影响非常明显,网格划分越密内存开销便越大,

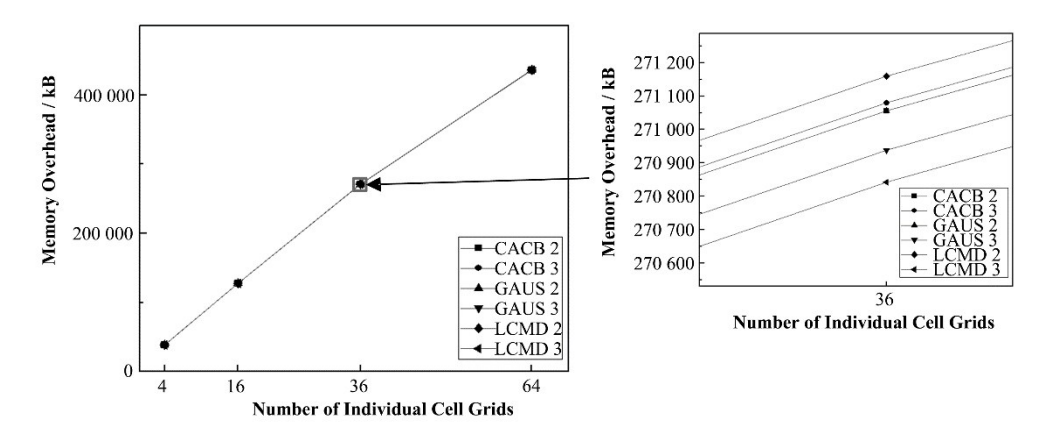


图 7 不同网格和极角下的内存开销 Fig.7 Memory overhead for different grids and polar angles

8×8 网格划分比 2×2 网格划分内存开销多 3.98× 10° kB, 是 2×2 网格划分的 11.4 倍。

图8展示了不同网格和极角下的耗时,其中横坐标表示单个栅元网格数目,纵坐标表示整个计算过程的耗时(单位 s),其中不同的线分别代表6种极角。从图8可知,网格划分对耗时的影响要大于极角选择,且随着网格划分数目越多,计算所需的耗时明显增多。在网格划分为2×2的情况下,6种极角分别计算的平均耗时为1.3×10³ s;当网格划分增加到4×4时,6种极角分别计算的平均耗时也随之增加到2.2×10³ s;在6×6的更多网格划分情况下,6种极角分别计算的平均耗时也上升到了2.7×10³ s;直至网格划分增加到8×8时,6种极角分别计算的平均耗时为7.4×10³ s。图8中可知,网格数目从6×6增加到8×8时,耗时的变化尤为突出,6种不同的极角的耗时都会增加至少4.6×10³ s。

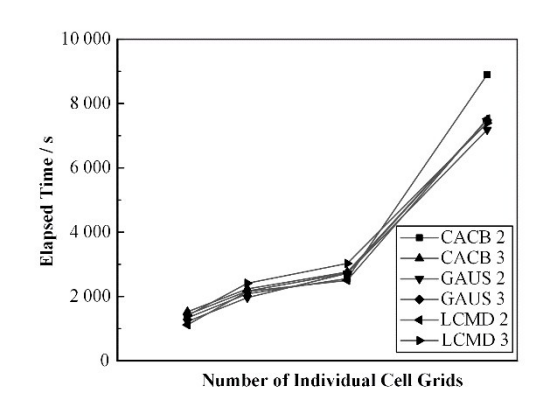


图8 不同网格和极角下的总耗时
Fig.8 Total time consumptions for different grids and polar angles

图9展示了不同极角在不同网格数目下计算所得的误差。不论选择何种极角类型和个数,随着网格划分越密,计算精度都有显著增长。其中GAUS求积组要比其他求积组精确至少5×10⁻⁴,在GAUS求积组中选择极角数目2比3更加精确。在网格划

分分别为6×6与8×8时,选择GAUS(2)极角的计算精度仅在5×10⁻⁵内发生变化。但由图6和图7可知,此时网格划分8×8的内存开销是网格划分6×6的1.6倍,而耗时更是网格划分6×6的2.7倍。根据不同网格划分和极角选择下对计算精度、计算效率和内存开销的分析,得出网格划分6×6,极角选择GAUS(2),能较好兼顾计算精度和效率。

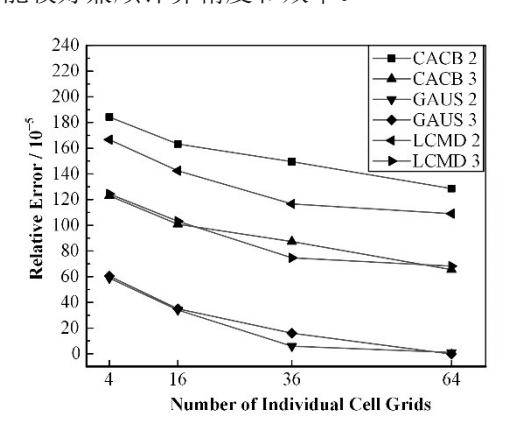


图9 不同网格和极角下的计算误差 Fig.9 Calculation errors under different grids and polar angles

3.2.2 方位角

在基于网格划分6×6,极角选择GAUS(2)的参数条件下,通过不同的方位角个数完成进一步的敏感性分析。不同方位角下的内存开销、耗时以及计算误差如表3所示。从耗时可得出,随着方位角数目的增多,耗时有明显的增长,但到了方位角为30之后耗时几乎不再增长,且方位角数目为30时耗时约为方位角数目为8的3倍。在内存开销中可得出,改变方位角的数目内存开销的变化在5%以内。根据表3中的计算误差可知,随着方位角数目的增多,计算精度也会愈发精确,但在方位角数目为30之后,精度便不再发生变化。这是由于DRAGON5.0.8程序中方位角选择的上限为30,故综合考虑方位角的最优参数为30。

表3 不同方位角下的计算结果

Table 3 Calculation results under different azimuth angles

			_
方位角	耗时	内存开销	相对误差
Azimuth	Elapsed time	Memory	Relative error
angles	/ s	overhead / kB	/ 10 ⁻⁵
8	890.06	268 492	51.16
12	1 345.66	271 336	21.83
16	1 729.97	281 766	13.23
30	2 671.79	271 202	5.90
32	2 723.28	271 056	5.90
64	2 537.84	271 412	5.90

3.2.3 特征线密度

以网格划分6×6,极角选择GAUS(2),方位角为30的情况下,选择不同的特征线密度进行计算,得到内存开销、耗时及计算误差如表4所示。不同特征线密度下的计算精度都吻合较好,皆在3×10⁻⁴以内。其中线密度为12 cm⁻¹的精度最好,误差仅为5.9×10⁻⁵。同时由于DRAGON程序采用了特征线段合并技术,因此随着特征线密度的增加,内存不会出现明显增加^[28]。虽然合并了部分特征线段,但仍会使得整体过程规模增大,从而导致耗时增加。因此,特征线密度选择12 cm⁻¹能使计算误差最小,同时兼顾内存开销和计算时间。

表4 不同特征线密度下的计算结果

Table 4 Calculation results obtained under different characteristic linear densities

特征线密度	耗时	内存占用	相对误差
Characteristic linear densities / cm ⁻¹	Elapsed time / s	Memory overhead / kB	Relative error / 10 ⁻⁵
8	1 807.41	271 382	14.16
10	2 409.81	272 808	10.87
12	2 662.86	271 268	5.90
15	2 856.16	273 492	22.50
20	3 487.05	282 894	12.30

3.2.4 功率分布

基于OpenMC得到的归一化功率分布如图10所示。同时以网格划分6×6、极角GAUS(2)、方位角30、特征线密度12 cm⁻¹作为选定参数,计算所得的功率归一化分布如图11所示。由图11可知,计算结果与参考解吻合较好,其中最大归一化功率为2.506,位于左上角UO₂燃料组件中的第4行5列和第5行4列,与参考解的相对误差为0.04%。位于左下角UO₂燃料组件的裂变室第26行26列的归一化功率最小,其值为1.61×10⁻⁵,与参考解的相对误差为0.32%。通过式(15)计算得到整个基准题的均方根误差为0.002 55,由此可知,该参数的计算结果与参考解吻合良好。

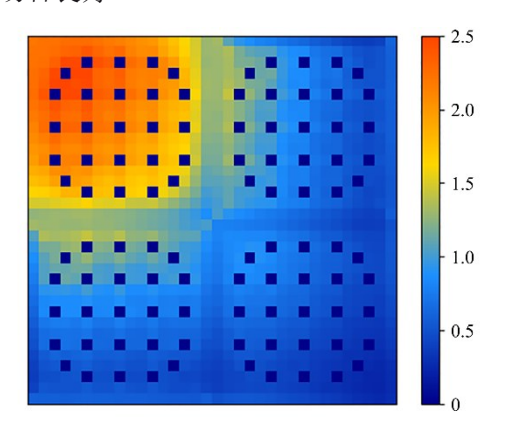


图 10 OpenMC 栅元功率归一化分布 Fig.10 Normalized cell power distribution in OpenMC

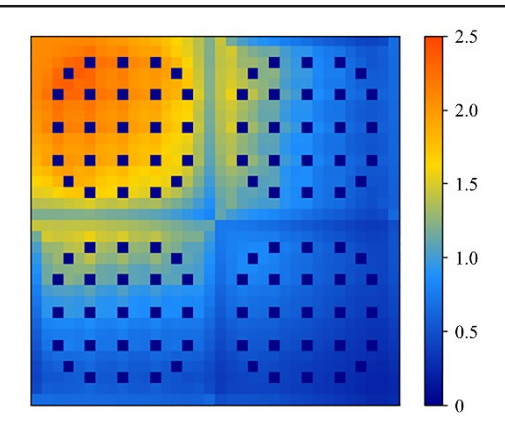


图11 DRAGON棚元功率归一化分布 Fig.11 Normalized cell power distribution in DRAGON

通过改变不同参数进行敏感性分析可得,在计算精度上:影响最大的因素是极角的选择,其中GAUS求积组要比其他求积组精确至少 5×10^{-4} ,由式(8)可知,因为不同求积组会使得角度离散过程中的极角求积系数 ω_n 发生变化,进而影响最终的计算结果^[29]。在计算成本上:网格划分对计算内存开销以及计算时间的影响最大,原因在于增多单个栅元的网格数目,会使整个 51×51 的组件中每个栅元的网格划分都增多,从而显著增加其计算规模,最终影响到计算所需的总时间以及内存开销。

4 结语

本文在分析比较 MOC、CP和IC 计算原理的基础上,进一步基于 2D C5G7-MOX 基准题进行了数值计算分析,计算结果表明:特征线方法在计算精度、计算效率和内存开销方面均优于碰撞概率法和界面流法。其中特征线方法的耗时为 23.9 min,只占界面流法的 1/16。特征线方法内存开销约37.5 MB,仅为界面流法的1/33。而碰撞概率法的耗时、内存开销则远大于以上两种方法,但特征线方法和碰撞概率法的与基准值的相对误差都约为 6.1×10⁻¹,远小于界面流法的相对误差。因此,MOC在计算 2D C5G7-MOX 这类强非均匀性组件问题时,其计算精度、计算效率和内存开销总体优于碰撞概率法和界面流法。

进一步对特征线方法进行初步参数敏感性分析,选择网格划分、方位角、极角类型与个数、特征线密度进行计算分析。通过不同参数组合下的计算结果比较了计算精度、计算效率和内存开销。最终得出网格划分6×6、极角GAUS(2)、方位角30、特征线密度12 cm⁻¹是一组能够较好地兼顾计算精度和计算成本的参数,该参数组合下的计算耗时为45.4 min,内存开销264.7 MB,相对误差为5.9×10⁻⁵,归一化后的栅元均方根误差为0.002 55,与参考解吻合良好。由于参数的选择与计算精度、计算效率和内存开销间的关系复杂,各自权重难以精确量化评估,后续研究中拟引入深度学习算法对参数选择及优化进行深入研究。

作者贡献声明 龚瀚源负责建立模型,研究并分析数据以及起草论文;张彬航负责设计具体研究内容和方向,提出合理化研究方案以及提供理论支撑,同时指导程序的使用以及数据的采集,对论文的知识性内容做审阅并且负责对论文的修改;张永红负责论文审阅;唐海波负责技术支持;袁显宝负责过程监督以及成果验收。

参考文献

- 1 谢仲生,邓力.中子输运理论数值计算方法[M].西安: 西北工业大学出版社,2005.
 - XIE Zhongsheng, DENG Li. Numerical calculation method of neutron transport theory[M]. Xi'an: Northwestern Polytechnical University Press, 2005.
- 2 Amouyal A, Benoist P, Horowitz J J. New method for determining the thermal utilization factor in a unit cell[J]. Nuclear Energy, 1957, 6: 79.
- 3 曹良志. 近代反应堆物理分析[M]. 北京: 中国原子能出

版社, 2017:93.

- CAO Liangzhi. Analysis of modern reactor physics[M]. Beijing: China Atomic Energy Press, 2017: 93.
- 4 Coste M, Tellier H, Ribon P, et al. New Improvements in the self-shielding formalism of the apollo-2 code, technical report[R]. CEA Centre d'Etudes de Saclay, 1993.
- 5 Kulikowska T. WIMSD-5B: a neutronic code for standard lattice physics analysis[R]. Distributed by NEA Data Bank. Saclay, France, 1996.
- 6 Okumura K, Kugo T, Nakano Y, et al. Development of modular reactor analysis code system MOSRA, Preprints L46[R]. 2008 Fall Meeting of the Atomic Energy Society of Japan, 2008.
- 7 Askew Jr. A characteristics formulation of the neutron transport equation in complicated geometries[R]. United Kingdom: United Kingdom Atomic Energy Authority, 1972.
- 8 梁亮. 基于特征线方法的 2D/1D 及 2D/3D 耦合中子输运计算方法研究[D]. 西安: 西安交通大学, 2017.
 - LIANG Liang. Research on 2D/1D and 2D/3D coupled neutron transport calculation methods based on eigenline method[D]. Xi'an: Xi'an Jiaotong University, 2017.
- 9 Hebert A. DRAGON5 and DONJON5, the contribution of Ecole Polytechnique de Montreal to the SALOME platform[J]. Annals of Nuclear Energy, 2016, 87: 12–20.
- 10 Le Tellier R, Hebert A. On the integration scheme along a trajectory for the characteristics method[J]. Annals of Nuclear Energy, 2006, 33(14-15): 1260-1269.
- 11 Hsiao M Y, Wheeler J K, de la Hoz C. Application of CASMO-4/MICROBURN-B2 methodology to mixed cores with westinghouse optima2 fuel[J]. Nuclear Science and Engineering, 2011, 167(3): 230–241.
- 12 Rhodes J L D, Smith K. CASMO-5/CASMO-5M a fuel assembly burnup program methodology manual[R]. Report S S, Ed. 2008.
- 13 Lindley B A, Hosking J G, Smith P J, et al. Current status of the reactor physics code WIMS and recent developments[J]. Annals of Nuclear Energy, 2017, 102: 148–157.
- 14 朱成林. 基于 MOC 的堆芯计算方法研究[D]. 哈尔滨: 哈尔滨工程大学, 2015.
 - ZHU Chenglin. Research on core calculation method based on MOC[D]. Harbin: Harbin Engineering University, 2015.
- 15 刘紫静, 于涛, 谢金森, 等. 基于 DRAGON 程序的多种中子输运计算方法对比分析[J]. 中国科技论文, 2015, **10**

- (23): 2728 2733. DOI: 10.3969/j.issn.2095-2783.2015. 23.008.
- LIU Zijing, YU Tao, XIE Jinsen, *et al.* Neutron transport calculation methods comparative analysis based on DRAGON code[J]. China Sciencepaper, 2015, **10**(23): 2728 2733. DOI: 10.3969/j.issn.2095-2783.2015.23.008.
- Mira M, El Hajjaji O, Jai O, et al. Derivation of optimal process MOC parameters and analysis of the 2D C5G7 MOX benchmark using DRAGON₅ code[J]. Nuclear Engineering and Design, 2022, 388: 111613. DOI: 10. 1016/j.nucengdes.2021.111613.
- 17 吴宏春. 中子输运方程确定论数值方法[M]. 北京: 中国原子能出版社, 2018: 65.
 - WU Hongchun. Numerical method for determining neutron transport equation[M]. Beijing: China Atomic Energy Press, 2018: 65.
- 18 谢仲生. 中子输运理论数值计算方法[M]. 西安: 西安交通大学出版社, 2022: 158.
 - XIE Zhongsheng. Theoretical numerical calculation method for neutron transport[M]. Xi'an: Xi'an Jiaotong University Press, 2022: 158.
- 19 Marleau G, Hebert A, Roy R. A user guide for DRAGON version 4, Report IGE-294[Z]. Montr'eal: Institut de génie nucléaire, école Polytechnique deMontréal, 2015.
- 20 毕光文,司胜义. DRAGON程序用于压水堆燃料组件计算的有效性验证与分析[C]. 第十三届反应堆数值计算与粒子输运学术会议暨2010年反应堆物理会议论文集. 西安: 第十三届反应堆数值计算与粒子输运学术会议, 2010: 1-8.
 - BI Guangwen, SI Shengyi. Validation and analysis of calculations for PWR assemblies with lattice code DRAGON[C]. Proceedings of the 13th Reactor Numerical Computation and Particle Transport Conference and the 2010 Reactor Physics Conference. Xi'an: 13th Academic Conference on Reactor Numerical Computation and Particle Transport, 2010: 1–8.
- 21 郝鹏飞. 基于 OpenMC 的空间核反应堆临界及安全分析[D]. 江西: 东华理工大学, 2022.
 - HAO Pengfei. Criticality and safety analysis of space nuclear reactor based on OpenMC[D]. Jiangxi: East China University of Technology, 2022.
- 22 Romano P K, Horelik N E, Herman B R, et al. OpenMC: a state-of-the-art Monte Carlo code for research and development[J]. Annals of Nuclear Energy, 2015, 82: 90 - 97. DOI: 10.1016/j.anucene.2014.07.048.

- 23 沈芷睿, 孙启政, 何东豪, 等. 基于BEAVRS 基准题高保 真建模的 OpenMC 程序和 NECP-X 程序的对比验证[J]. 核 技 术, 2022, **45**(1): 010602. DOI: 10.11889/j. 0253-3219.2022.hjs.45.010602.
 - SHEN Zhirui, SUN Qizheng, HE Donghao, *et al.* Comparison and verification of NECP-X and OpenMC using high-fidelity BEAVRS benchmark models[J]. Nuclear Techniques, 2022, **45**(1): 010602. DOI: 10.11889/j.0253-3219.2022.hjs.45.010602.
- 24 吴宏春. 中子输运理论及其数值方法[M]. 西安: 西安交通大学出版社, 2007: 34.
 - WU Hongchun. Neutron transport theory and numerical methods[M]. Xi'an: Xi'an Jiaotong University Press, 2007: 34.
- 25 刘萍萍, 吴宏春. 基于三角形网格的穿透概率方法研究 [J]. 核动力工程, 2006, **27**(5): 12 18, 41. DOI: 10.3969/j.issn.0258-0926.2006.05.003.
 - LIU Pingping, WU Hongchun. Study of transmission probability method based on triangle meshes[J]. Nuclear Power Engineering, 2006, **27**(5): 12 18, 41. DOI: 10. 3969/j.issn.0258-0926.2006.05.003.
- 26 刘国明, 吴宏春. 基于三棱柱网格的穿透概率方法研究 [J]. 核动力工程, 2008, **29**(4): 24 30.
 - LIU Guoming, WU Hongchun. Transmission probability method based on triangular-z mesh[J]. Nuclear Power Engineering, 2008, **29**(4): 24 30.
- 27 马逸尘, 高伟, 唐富初, 等. 三维中子积分输运方程的数值解: 中子碰撞概率的计算[J]. 工程数学学报, 1984, 1 (1): 119-128.
 - MA Yichen, GAO Wei, TANG Fuchu, *et al.* Numerical solution of three-dimension integral transport equation: calculation of neutron collision probabilities[J]. Chinese Journal of Engineering Mathematics, 1984, 1(1): 119 128.
- 28 Marleau G, Hébert A, Roy R, et al. A user guide for dragon version5[R]. Institut de Génie Nucléaire Département de Génie Mécanique École Polytechnique de Montréal, 2021.
- 29 Yamamoto A, Tabuchi M, Sugimura N, et al. Derivation of optimum polar angle quadrature set for the method of characteristics based on approximation error for the bickley function[J]. Journal of Nuclear Science and Technology, 2007, 44(2): 129 136. DOI: 10.1080/18811248.2007.9711266.